

ОЦЕНКА ПРЕДЕЛОВ ГЕТЕРОГЕННОЙ ДЕТОНАЦИИ

*Э. И. Андрианкин, В. С. Зеягинцев, С. А. Ивлиев
(Москва)*

Стационарный режим распространения нормальной детонационной волны (соответствующий условию Чепмена — Жуге) в гомогенной горючей смеси определяется величиной полного тепловыделения q_0 , которое происходит вблизи фронта за время τ_0 , много меньшее характерного времени распространения волны t_* . В случае гетерогенной детонации могут существовать несколько характерных времен тепловыделения. Например, τ_1 соответствует тепловыделение на фронте, равное q_1 , времени τ_g , определяющему начало влияния догорания за плоскостью Чепмена — Жуге на фронт и удовлетворяющему условию $\tau_g \gg \tau_1$, соответствует q_g .

Если $t_* \gg \tau_g$, то режим определяется краевыми условиями при тепловыделении $q_0 = q_1 + q_g$. Рассмотрим другой предельный случай, когда $\tau_1 \ll t_* < \tau_g$, и волны сжатия, возникающие за счет догорания топлива, не успевают повлиять на движение первого фронта, которому соответствует q_1 . Покажем, что в случае нормальной гетерогенной детонации существуют концентрационные пределы для жидкого топлива, содержащегося в газообразном окислителе, определяющие возможные значения q_1 . Заметим, что значения q_1 в условиях переската режима будут зависеть от амплитуды ударной волны, влияющей в реальном случае на степень дробления капель. Далее рассматривается гетерогенная детонация в режиме Чепмена — Жуге, так как краевые условия во многих классических задачах соответствуют именно этому режиму (отражение волны детонации от стенки, распространение от свободной поверхности, расходящаяся волна [1, 2]).

Система уравнений, описывающая законы сохранения в случае стационарного распространения одномерной волны детонации по монодисперсной смеси капель горючего и газообразного окислителя в координатах, связанных с фронтом, имеет вид

$$\begin{aligned} \rho_0 u_0 + n_0 m_0 u_0 &= \rho u + n m u_k, \quad n_0 u_0 = n u_k, \\ p_0 + \rho_0 u_0^2 + n_0 m_0 u_0^2 &= p + \rho u^2 + n m u_k^2, \\ \rho_0 u_0 \left(\frac{u_0^2}{2} + \frac{\gamma_0}{\gamma_0 - 1} \frac{p_0}{\rho_0} \right) + n_0 m_0 u_0 \left(\frac{u_0^2}{2} + C_k T_0 \right) + Q u_0 &= \rho u \left(\frac{u^2}{2} + \frac{\gamma}{\gamma - 1} \frac{p}{\rho} \right) + \\ &+ n m u_k \left(C_k T_k + \frac{u_k^2}{2} \right). \end{aligned} \quad (1)$$

Здесь γ , u , p , ρ — показатель изэнтропы, массовая скорость, давление, плотность газовой фазы; n , m , C_k , T — число капель в единице объема, масса капли, удельная теплоемкость жидкой фазы и ее температура. Индексами 0 и k обозначены величины перед разрывом и параметры капель горючего в потоке за фронтом. При записи (1) учтено, что объем, занимаемый конденсированной фазой, мал по сравнению с объемом газообразного окислителя. Кроме того, поскольку в процессе дробления капли теряет массу в виде мелкодисперсной компоненты, то капли, входящие в состав последней, не учитываются в законах сохранения (1) [3, 4].

Рассматриваемый гетерогенный режим обладает характерной особенностью. Формирование горючей смеси, отвечающей быстрым процессам тепловыделения, связанным с фронтом, происходит в условиях, определяемых набегающим на каплю газовым потоком. Свойства последнего, в свою очередь, зависят от интенсивности распространяющейся волны. В процессе создания смеси из капель с начальными размерами больше 10^{-4} — 10^{-5} м основную роль играет гидродинамический механизм очищения пограничного слоя, дробления и турбулентного рассеяния вещества капли в окислителе, обусловленный большим различием плотностей конденсированной и газовой фаз. Механизмы диффузии и теплопередачи на расстояниях, порядка указанных размеров капли и более, обеспечивают скорости тепловыделения, значительно меньшие по сравнению со скоростью сгорания горючей смеси, подготовленной на начальной стадии дробления [5—7], и поэтому играют ведущую роль только в процессах догорания.

Интерес представляет Q — аналог энергии взрывчатого превращения, используемой в классической теории детонации газов [1, 2]. В рассматриваемом случае Q есть функция, зависящая от возможности сгорания определенной массы капли рассматриваемого жидкого топлива в заданном потоке окислителя внутри зоны, энерговыделение в которой идет на поддержание разрыва,

$$Q = H \rho f. \quad (2)$$

Здесь H — удельная теплота сгорания топлива; f — функция начального диаметра капли. Величина Q зависит также от числа Рейнольдса, вязкости сред, параметра, определяющего влияние индукционных процессов, взаимных коэффициентов диффузии паров и газа, коэффициентов теплопроводности жидкой и газообразной фаз,

теплоемкости. В общем случае f — сложная зависимость, отражающая влияние указанных параметров на процесс подготовки рабочего объема быстрой фазы горения.

Оценим вид функции f . Экспериментально установлено [7, 8], что в потоках за ударными волнами, имеющими скорость, меньшую определенной u_m , капли не воспламеняются. Отсюда следует

$$f = f_1 \Theta(u_0 - u_m), \quad (3)$$

где u_m — функция параметров, указанных в (2), но основными механизмами, определяющими ее вид, являются диффузия и теплопроводность [6]; $\Theta(y)$ — функция Хевисайда.

Поскольку образование паров топлива есть процесс рассредоточения некоторого количества конденсированного вещества, первоначально содержащегося в капле в объеме окислителя, граничащего с последней, то в зависимости от величины n_0 функция $Q_1 = H\rho_0 f_1$ записывается в двух видах. Если объемы, занимаемые парогазовой фазой одной капли в момент горения, не перекрываются (n_0 мало), имеем

$$Q_1 = \rho_* n_0 q w a. \quad (4)$$

Здесь ρ_* — плотность сжатого окислителя; q — энергия, выделяющаяся при полном сгорании единицы массы окислителя; w — объем, образованный топливом индивидуальной капли и являющийся функцией динамических параметров из (2); a — функция, учитывающая неоднородность полей концентрации окислителя и горючего в объеме следа w . Когда значение n_0 большое и в момент сгорания следы капель перекрываются,

$$Q_1 = \rho_0 q a. \quad (5)$$

Дальнейшее уточнение вида Q затруднено сложной взаимосвязанностью процессов срыва пограничного слоя, турбулентного перемешивания, диффузии, теплопередачи.

При известных m , u_0 и выполнении условия Чепмена — Жуге система (1) с учетом (3) — (5) полностью определяет не только параметры возможного режима, но и пределы его существования. Предположим, что $m=0$, тогда из (1) следует

$$\begin{aligned} u_0 &= \sqrt{\frac{\gamma-1}{2} \left[(\gamma+1) \frac{R}{\rho_H} + a_H^2 \frac{\gamma+\gamma_0}{\gamma_0(\gamma_0-1)} \right]} + \\ &+ \sqrt{\frac{\gamma+1}{2} \left[(\gamma-1) \frac{R}{\rho_H} + a_H^2 \frac{\gamma-\gamma_0}{\gamma_0(\gamma_0-1)} \right]}, \\ p &= p_0 + \frac{\rho_H u_0^2}{(\gamma+1)} \left(1 - \frac{\gamma}{\gamma_0} \frac{a_H^2}{u_0^2} \right), \quad u = \frac{\gamma u_0}{(\gamma+1)} \left(1 + \frac{1}{\gamma_0} \frac{a_H^2}{u_0^2} \right), \\ \rho &= \frac{\rho_H (\gamma+1)}{\left(\gamma + \frac{\gamma}{\gamma_0} \frac{a_H^2}{u_0^2} \right)}. \end{aligned} \quad (6)$$

Здесь $\rho_H = \rho_0 + n_0 m_0$; $R = (Q + n_0 m_0 C_K T_0)$; $a_H^2 = \gamma p_0 / \rho_H$. Первое уравнение (6) с учетом (4), (5) определяет пределы гетерогенной детонации.

В качестве примера рассмотрим следующее приближение. Считаем $C_K T_0 \ll q$, $\rho_H a_H^2 \ll R$, $\gamma_0 = \gamma$. Обозначим $\psi = \frac{u_0^2}{2(\gamma^2 - 1)}$, $s = n_0 m_0$. Из условия Чепмена — Жуге имеем

$$\rho_* = (\gamma+1) \rho_0 / \gamma. \quad (7)$$

Считаем w равным геометрическому объему следа капли в момент сгорания. Это допущение оправдывается малой величиной скорости процессов диффузии и теплопроводности [5]. Из работ [4, 6, 7] следует, что для капель с начальным диаметром $d_0 \sim 10^{-3}$ м $w = B \pi d_0^3 / 6$, где $B = \text{const} = 230$, т. е. w не зависит от параметров, указанных в (2). Отсюда можно видеть, что усредненная концентрация паров топлива в следе значительно выше стехиометрической. Поскольку точных данных о полях концентраций нет, положим $a=1$. Это соответствует допущению о полном выгорании невытесняемого кислорода в объеме следа. Подстановкой (7) и (4) (последнее справедливо при $(\alpha+1)w \cdot n_0 / \gamma < 1$) в (6) с учетом упрощений рассматриваемого приближения получаем, воспользовавшись (3), значение нижнего концентрационного предела распространения режима гетерогенной детонации

$$s \geq s_1 = \rho_0 k / (\gamma - 1), \quad k = \gamma \Psi \rho_K / (\gamma + 1) \rho_0 q B. \quad (8)$$

Аналогично с помощью (5), (6) и (3) при $(\gamma+1)wn_0/\gamma \geq 1$ находим верхнюю границу
 $s \leq s_2 = \rho_0(q/\psi - 1)$. (9)

Физический смысл найденных пределов состоит в том, что удельной энергии тепловыделения $q_1 = R/\rho_n$ соответствуют определенные амплитуда и скорость волны. Уменьшение концентрации капель, приводящее к значениям q_1 , соответствующим α_m , определяет нижний предел. Соответственно, значительным концентрациям отвечает большое значение ρ_n , определяемое при Q и ограниченное величиной плотности окислителя. И в этом случае с ростом n_0 (или m_0) величины q_1 , w_0 уменьшаются до значений, соответствующих появлению верхнего концентрационного предела.

Например, для капель топлива типа керосина в кислороде при нормальных начальных условиях, приняв $w_0 = 3V_0\rho_0/\rho$ [5, 7, 8], получим $s_1 = 0,237 \text{ кг}/\text{м}^3$, $s_2 = 11,58 \text{ кг}/\text{м}^3$. При наличии более точных экспериментально или теоретически определенных функций w и α можно уточнить (8), (9) или получить более строгие оценки, воспользовавшись (6). Допущение $\alpha = 1$ имеет следствием наличие $q_g \neq 0$ в среде после прохождения первой волны только тогда, когда выполнено условие $(\gamma+1)/\gamma \cdot wn_0 < 1$.

В заключение отметим, что найденные пределы гетерогенной детонации шире, чем пределы для паровоздушных смесей аналогичных горючих, и сдвинуты в область больших концентраций топлива. Физически это оправдывается гетерогенностью взвеси. Влияние концентрационных пределов парогазовых смесей в общепринятом смысле в неявном виде учитывается зависимостью (3).

Поступила в редакцию
 12/VI 1979

ЛИТЕРАТУРА

1. Я. Б. Зельдович, А. С. Компанеец. Теория детонации. М., 1955.
2. К. П. Станюкович. Неуставновившиеся движения сплошной среды. М., Наука, 1971.
3. А. А. Борисов, Б. Е. Гельфанд и др. Докл. АН СССР, 1970, 190, 3, 621.
4. А. А. Ranger, J. A. Nikolls. AIAA J., 1969, 7, 2.
5. С. А. Губин, А. А. Борисов и др. ФГВ, 1978, 14, 1, 90.
6. Т. Н. Pierce, C. W. Kauffmann, J. A. Nicholls. AIAA paper, 1975, 163.
7. C. W. Kauffmann, J. A. Nicholls. AIAA J., 1971, 9, 5.
8. А. Вежба. ФГВ, 1974, 10, 5, 710.

О РАСПРОСТРАНЕНИИ ДЕТОНАЦИИ В ПОЛОСЕ, ИМЕЮЩЕЙ УГЛЫ ПОВОРОТА

С. А. Повиков, В. И. Шутов
 (Москва)

В практике применения взрывчатых веществ достаточно часто бывают случаи, когда детонирующее вещество размещается на поверхности инертного вещества или в каналах, выполненных в виде прутков или полос, имеющих углы поворота. Примером могут служить так называемые взрывные «задержки времени» для синхронизации запуска измерительной аппаратуры с возникновением изучаемого явления.

Согласно принципу Гюйгенса, при наличии поворотов в слое ВВ детонация должна распространяться по кратчайшему пути (линия $ABC\bar{D}$ на рис. 1, *a*), т. е. время распространения детонационной волны от точки *A* до точки *D* должно рав-

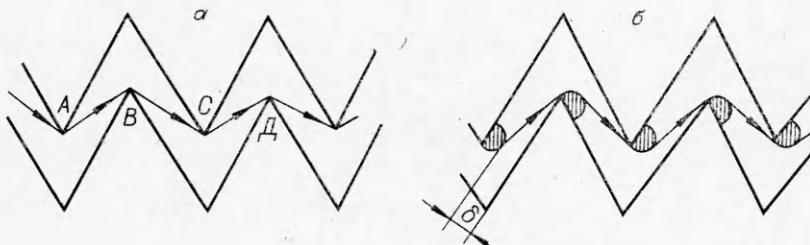


Рис. 1.